

第五章 机器人动力学

前面我们所研究的机器人运动学都是在稳态下进行的，没有考虑机器人运动的动态过程。实际上，机器人的动态性能不仅与运动学相对位置有关，还与机器人的结构形式、质量分布、执行机构的位置、传动装置等方案有关。

机器人动态性能由动力学方程描述，研究机器人运动与关节力(力矩)间的动态关系。

➤ 分析机器人动态数学模型，主要采用两种理论

牛顿—欧拉方程，拉格朗日方程

➤ 对于动力学，有两个相反的问题

(1) 已知各关节作用力或力矩，求各关节的位移、速度和加速度，即求得运动轨迹。

(2) 已知机械手的运动轨迹（各关节的位移、速度和加速度），求各关节所需要的驱动力或力矩。

5.1 刚体的动能与势能

牛顿力学：

- (1) 牛顿力学的核心是牛顿三定律，具体应用时首先需要进行受力分析；
- (2) 在古典力学领域具有广泛的应用，但在处理高速运动（接近光速）和微观粒子时会出现不准确的情况，这时需要引入相对论和量子力学来解决问题。

拉格朗日力学：

拉格朗日力学的基础是**最小作用原理**，即物体的运动轨迹使作用量取得**极小值**。

拉格朗日方程是一个二阶偏微分方程，它包含了物体的坐标、速度以及物体所受到的力等信息。

拉格朗日力学在多自由度系统中具有广泛的应用。多自由度系统是指具有多个独立自由度的系统，如振动、分子结构等。

虽然牛顿力学和拉格朗日力学采用不同的方法描述物体的运动，但它们实际上是等价的。

在某些情况下，拉格朗日力学可以简化问题，使其更容易求解。

而在其他情况下，牛顿力学可能更方便使用。

拉格朗日函数 L 被定义为系统动能 K 和势能 P 之差，即：

$$L = K - P \quad (5-1)$$

系统动力学方程式，即拉格朗日方程如下：

$$F_i = \frac{d}{dt} \frac{\partial L}{\partial \dot{q}_i} - \frac{\partial L}{\partial q_i}, i = 1, 2, \dots, n \quad (5-2)$$

式中， q_i 为表示系统的广义坐标， \dot{q}_i 为相应的速度，而 F_i 为作用在第 i 个坐标上的力或是力矩。

► 一般物体的动能与势能

动能 $K = \frac{1}{2}mv^2 = \frac{1}{2}m\dot{d}^2$

势能 $P = \frac{1}{2}kd^2$

小车-弹簧系统的拉格朗日函数

$$L = K - P = \frac{1}{2}m\dot{d}^2 - \frac{1}{2}kd^2$$

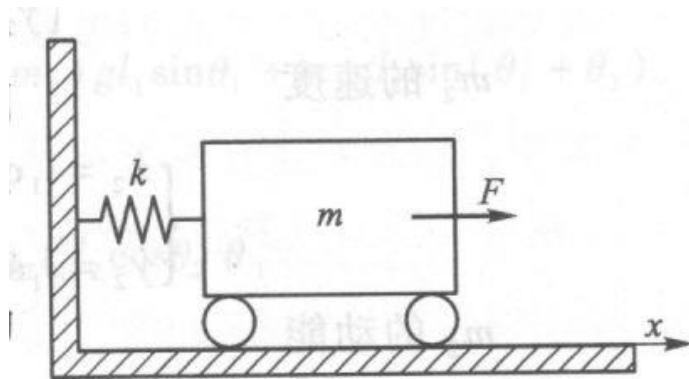


图1 一般物体的动能与势能

拉格朗日函数导数

$$\frac{d}{dt} \left[\frac{\partial L}{\partial \dot{d}} \right] = \underline{m\ddot{d}} \quad \underline{\frac{\partial L}{\partial d} = -kd}$$

拉格朗日-欧拉方程

$$F = m\ddot{d} + kd$$

➤ 二连杆机械手的动能和势能

先计算连杆1的动能和势能

$$K_1 = \frac{1}{2} m_1 v_1^2, \quad v_1 = d_1 \dot{\theta}_1, \quad P_1 = m_1 \cdot g \cdot h_1, \quad \underline{h_1 = -d_1 \cos \theta_1}$$

$$K_1 = \frac{1}{2} m_1 d_1^2 \dot{\theta}_1^2$$

$$P_1 = -m_1 g d_1 \cos \theta_1$$

再求连杆2的动能和势能

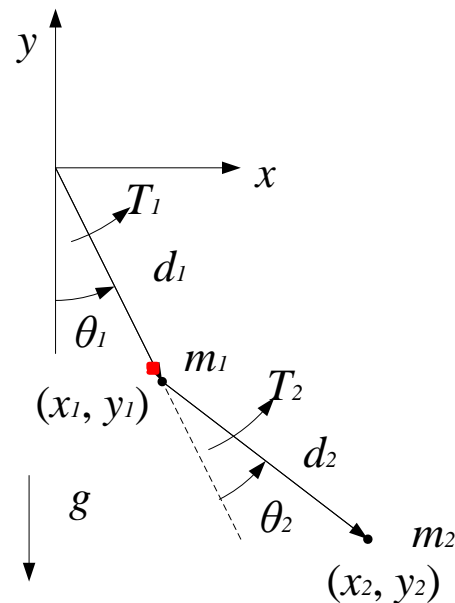


图2 二连杆机器人手

$$K_2 = \frac{1}{2} m_2 v_2^2, \quad P_2 = m_2 \cdot g \cdot y_2$$

式中

$$v_2^2 = \dot{x}_2^2 + \dot{y}_2^2,$$

$$x_2 = d_1 \sin \theta_1 + d_2 \sin(\theta_1 + \theta_2)$$

$$y_2 = -d_1 \cos \theta_1 - d_2 \cos(\theta_1 + \theta_2)$$

$$\dot{x}_2 = d_1 \cos \theta_1 \dot{\theta}_1 + d_2 \cos(\theta_1 + \theta_2)(\dot{\theta}_1 + \dot{\theta}_2)$$

$$\dot{y}_2 = d_1 \sin \theta_1 \dot{\theta}_1 + d_2 \sin(\theta_1 + \theta_2)(\dot{\theta}_1 + \dot{\theta}_2)$$

二连杆机械手系统的总动能和总势能分别为：

$$K = K_1 + K_2$$

$$= \frac{1}{2} (m_1 + m_2) d_1^2 \dot{\theta}_1^2 + \frac{1}{2} m_2 d_2^2 (\dot{\theta}_1 + \dot{\theta}_2)^2 + m_2 d_1 d_2 \cos \theta_2 (\dot{\theta}_1^2 + \dot{\theta}_1 \dot{\theta}_2) \quad (5-3)$$

$$P = P_1 + P_2$$

$$= -(m_1 + m_2) g d_1 \cos \theta_1 - m_2 g d_2 \cos(\theta_1 + \theta_2) \quad (5-4)$$

5.2 拉格朗日方法

1. 二连杆机械手系统的拉格朗日函数

$$L = K - P$$

$$\begin{aligned} &= \frac{1}{2}(m_1 + m_2)d_1^2\dot{\theta}_1^2 + \frac{1}{2}m_2d_2^2(\dot{\theta}_1^2 + 2\dot{\theta}_1\dot{\theta}_2 + \dot{\theta}_2^2) \\ &\quad + m_2d_1d_2\cos\theta_2(\dot{\theta}_1^2 + \dot{\theta}_1\dot{\theta}_2) + (m_1 + m_2)gd_1\cos\theta_1 + m_2gd_2\cos(\theta_1 + \theta_2) \end{aligned} \quad (5-4)$$

求得力矩的动力学方程式：

$$\begin{bmatrix} T_1 \\ T_2 \end{bmatrix} = \begin{bmatrix} D_{11} & D_{12} \\ D_{21} & D_{22} \end{bmatrix} \begin{bmatrix} \ddot{\theta}_1 \\ \ddot{\theta}_2 \end{bmatrix} + \begin{bmatrix} D_{111} & D_{122} \\ D_{211} & D_{222} \end{bmatrix} \begin{bmatrix} \dot{\theta}_1^2 \\ \dot{\theta}_2^2 \end{bmatrix} + \begin{bmatrix} D_{112} & D_{121} \\ D_{212} & D_{221} \end{bmatrix} \begin{bmatrix} \dot{\theta}_1\dot{\theta}_2 \\ \dot{\theta}_2\dot{\theta}_1 \end{bmatrix} + \begin{bmatrix} D_1 \\ D_2 \end{bmatrix} \quad (5-5)$$

其中， D_{ii} 为关节*i*的有效惯量， D_{ij} 为关节*i*和关节*j*之间的耦合惯量。

D_{ij} 向心加速度系数， D_{ijj} 、 D_{iji} 哥氏加速度系数，

D_i 代表关节*i*处的重力。

比较可得本系统各系数如下：

有效惯量 $D_{11} = (m_1 + m_2)d_1^2 + m_2d_2^2 + 2m_2d_1d_2 \cos \theta_2$

$$D_{22} = m_2d_2^2$$

耦合惯量 $D_{12} = m_2d_2^2 + m_2d_1d_2 \cos \theta_2 = m_2(d_2^2 + d_1d_2 \cos \theta_2)$

向心加速度系数

$$D_{111} = 0$$

$$D_{122} = -m_2d_1d_2 \sin \theta_2$$

$$D_{211} = m_2d_1d_2 \sin \theta_2$$

$$D_{222} = 0$$

哥氏加速度系数

$$D_{112} = D_{121} = -m_2d_1d_2 \sin \theta_2$$

$$D_{212} = D_{221} = 0$$

重力项

$$D_1 = (m_1 + m_2)gd_1 \sin \theta_1 + m_2gd_2 \sin(\theta_1 + \theta_2)$$

$$D_2 = m_2gd_2 \sin(\theta_1 + \theta_2)$$

► 表5.1 给出这些系数值及其与位置 θ_2 的关系。

注意：有效惯量的变化将对机械手的控制产生显著影响！

表5.1

负载	θ_2	$\cos \theta_2$	D_{11}	D_{12}	D_{22}	I_1	I_2
地面空载	0°	1	6	2	1	6	2
	90°	0	4	1	1	4	3
	180°	-1	2	0	1	2	2
	270°	0	4	1	1	4	3
地面满载	0°	1	18	8	4	18	2
	90°	0	10	4	4	10	6
	180°	-1	2	0	4	2	2
	270°	0	10	4	4	10	6
外空间负载	0°	1	402	200	100	402	2
	90°	0	202	100	100	202	102
	180°	-1	2	0	100	2	2
	270°	0	202	100	100	202	102

可以看出 D_{11} 、 D_{22} 有效惯量在不同负载条件下有明显变化。 I_1 、 I_2 与 T_1 、 T_2 成正比的系数。

2. 机械手动力学方程的计算与简化

分析由一组A变换描述的任何机械手，求出其动力学方程。
推导过程分五步进行：

➤ 计算任一连杆上任一点
的速度；

➤ 计算各连杆的动能和机
械手的总动能；

➤ 计算各连杆的势能和机
械手的总势能；

➤ 建立机械手系统的拉格
朗日函数；

➤ 对拉格朗日函数求导，
以得到动力学方程式。

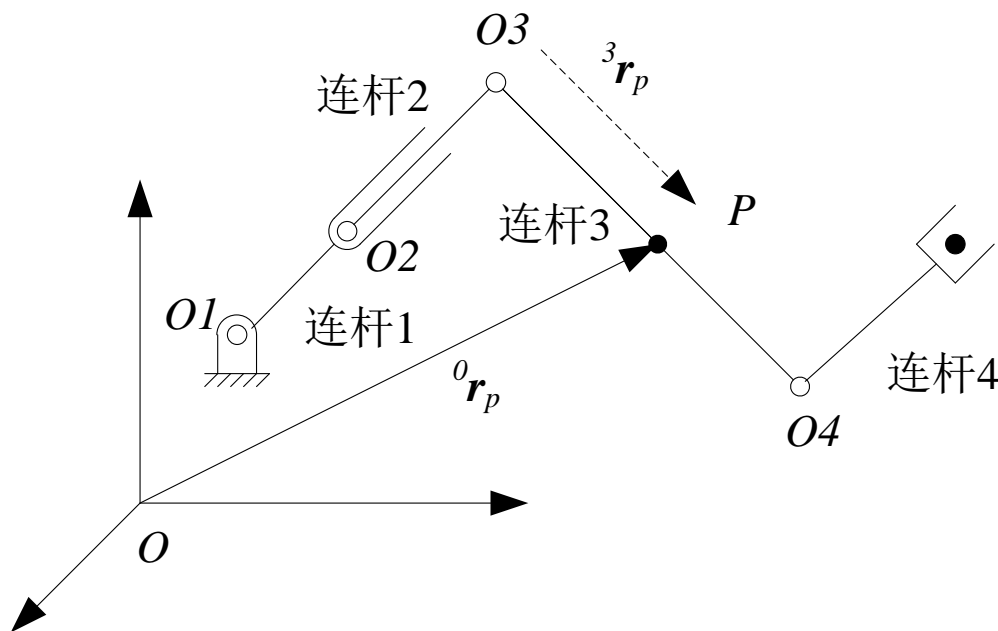


图3 四连杆机械手

3. 质点速度的计算

为了计算系统的动能，必须知道机器人各关节的速度。

➤ 连杆3上点 P 的速度为：

$${}^0\mathbf{v}_p = \frac{d}{dt}({}^0\mathbf{r}_p) = \frac{d}{dt}(T_3 \mathbf{r}_p) = \dot{T}_3 \mathbf{r}_p$$

对于连杆*i*上任一点的速度为：

$$\mathbf{v} = \frac{d\mathbf{r}}{dt} = \left(\sum_{j=1}^i \frac{\partial T_i}{\partial q_j} \dot{q}_j \right) \mathbf{r} \quad (5.6)$$

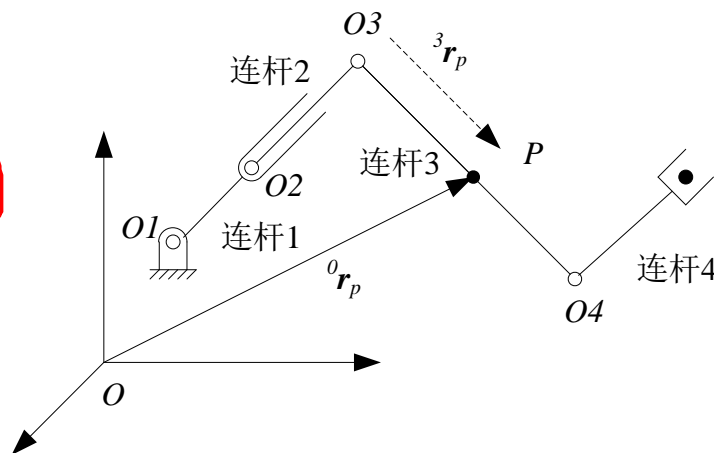


图4

➤ P点的加速度为：

$$\begin{aligned} {}^0\mathbf{a}_p &= \frac{d}{dt}({}^0\mathbf{v}_p) = \frac{d}{dt}(\dot{T}_3 \mathbf{r}_p) = \frac{d}{dt} \left(\sum_{j=1}^3 \frac{\partial T_3}{\partial q_j} \dot{q}_j \right) \mathbf{r}_p \\ &= \left(\sum_{i=1}^3 \frac{\partial T_3}{\partial q_i} \frac{d}{dt} \dot{q}_i \right) (\mathbf{r}_p) + \left(\sum_{k=1}^3 \sum_{j=1}^3 \frac{\partial^2 T_3}{\partial q_j \partial q_k} \dot{q}_k \dot{q}_j \right) (\mathbf{r}_p) \end{aligned}$$

$$= \left(\sum_{j=1}^3 \frac{\partial T_3}{\partial q_j} \ddot{q}_j \right) ({}^3\mathbf{r}_p) + \left(\sum_{k=1}^3 \sum_{j=1}^3 \frac{\partial^2 T_3}{\partial q_j \partial q_k} \dot{q}_k \dot{q}_j \right) ({}^3\mathbf{r}_p)$$

速度的平方

$$({}^0\mathbf{v}_p)^2 = ({}^0\mathbf{v}_p) \cdot ({}^0\mathbf{v}_p) = \text{Trace}[({}^0\mathbf{v}_p) \cdot ({}^0\mathbf{v}_p)^T]$$

$$= \text{Trace} \left[\sum_{j=1}^3 \frac{\partial T_3}{\partial q_j} \dot{q}_j ({}^3\mathbf{r}_p) \cdot \sum_{k=1}^3 \left(\frac{\partial T_3}{\partial q_k} \dot{q}_k \right) ({}^3\mathbf{r}_p)^T \right]$$

$$= \text{Trace} \left[\sum_{j=1}^3 \sum_{k=1}^3 \frac{\partial T_3}{\partial q_j} ({}^3\mathbf{r}_p) ({}^3\mathbf{r}_p)^T \frac{\partial T_3^T}{\partial q_k} \dot{q}_j \dot{q}_k \right]$$

式中，Trace表示矩阵迹。对于 n 阶方程，其迹为它的主对角线上各元素之和。

任一机械手上一点的速度平方为：

$$\mathbf{v}^2 = \left(\frac{d\mathbf{r}}{dt} \right)^2 = \text{Trace} \left[\sum_{j=1}^i \frac{\partial T_i}{\partial q_j} \dot{q}_j {}^i\mathbf{r} \sum_{k=1}^i \left(\frac{\partial T_i}{\partial q_k} \dot{q}_k {}^i\mathbf{r} \right)^T \right]$$

$$= \text{Trace} \left[\sum_{j=1}^i \sum_{k=1}^i \frac{\partial T_i}{\partial q_k} {}^i\mathbf{r} {}^i\mathbf{r}^T \left(\frac{\partial T_i}{\partial q_k} \right)^T \dot{q}_j \dot{q}_k \right] \quad (5.7)$$

4. 动能和势能的计算

➤ 动能的计算

令连杆3上任一质点P的质量为 dm ，则其动能为：

$$\begin{aligned} dK_3 &= \frac{1}{2} v_p^2 dm \\ &= \frac{1}{2} \text{Trace} \left[\sum_{j=1}^3 \sum_{k=1}^3 \frac{\partial T_3}{\partial q_j} {}^3\mathbf{r}_p ({}^3\mathbf{r}_p)^T \left(\frac{\partial T_3}{\partial q_k} \right)^T \dot{q}_j \dot{q}_k \right] dm \\ &= \frac{1}{2} \text{Trace} \left[\sum_{j=1}^3 \sum_{k=1}^3 \frac{\partial T_3}{\partial q_j} \underline{({}^3\mathbf{r}_p dm {}^3\mathbf{r}_p^T)^T} \left(\frac{\partial T_3}{\partial q_k} \right)^T \dot{q}_j \dot{q}_k \right] \end{aligned}$$

任一机械手连杆 i 上位置矢量 ${}^i\mathbf{r}$ 的质点，其动能为：

$$\begin{aligned} dK_i &= \frac{1}{2} \text{Trace} \left[\sum_{j=1}^i \sum_{k=1}^i \frac{\partial T_i}{\partial q_j} {}^j\mathbf{r}^i \mathbf{r}^{iT} \frac{\partial T_i^T}{\partial q_k} \dot{q}_j \dot{q}_k \right] dm \\ &= \frac{1}{2} \text{Trace} \left[\sum_{j=1}^i \sum_{k=1}^i \frac{\partial T_i}{\partial q_j} \underline{({}^i\mathbf{r} dm {}^i\mathbf{r}^T)^T} \frac{\partial T_i^T}{\partial q_k} \dot{q}_j \dot{q}_k \right] \end{aligned}$$

连杆3的动能为：

$$K_3 = \int_{\text{连杆3}} dK_3 = \frac{1}{2} \text{Trace} \left[\sum_{j=1}^3 \sum_{k=1}^3 \frac{\partial T_3}{\partial q_j} \left(\int \mathbf{r}_p \mathbf{r}_p^T dm \right) \left(\frac{\partial T_3}{\partial q_k} \right)^T \dot{q}_j \dot{q}_k \right]$$

任何机械手上任一连杆*i* 动能为：

$$K_i = \int_{\text{连杆}i} dK_i = \frac{1}{2} \text{Trace} \left[\sum_{j=1}^i \sum_{k=1}^i \frac{\partial T_i}{\partial q_j} I_i \left(\frac{\partial T_i}{\partial q_k} \right)^T \dot{q}_j \dot{q}_k \right] \quad (5.8)$$

式中， I_i 为伪惯量矩阵。

具有*n*个连杆的机械手总的动能为：

$$K = \sum_{i=1}^n K_i = \frac{1}{2} \sum_{i=1}^n \text{Trace} \left[\sum_{j=1}^i \sum_{k=1}^i \frac{\partial T_i}{\partial q_j} I_i \frac{\partial T_i^T}{\partial q_k} \dot{q}_j \dot{q}_k \right] \quad (5.9)$$

式（5.9）中忽略了各杆件传动装置的动能，考虑后为下：

连杆 *i* 的传动装置动能为： $K_{ai} = \frac{1}{2} I_{ai} \dot{q}_i^2$ I_{ai} 为传动装置等效质量

所有关节传动装置总动能为： $K_a = \frac{1}{2} \sum_{i=1}^n I_{ai} \dot{q}_i^2$

机械手系统（包括传动装置）的总动能为：

$$\begin{aligned} K_t &= K + K_a \\ &= \frac{1}{2} \sum_{i=1}^6 \sum_{j=1}^i \sum_{k=1}^i \text{Trace} \left(\frac{\partial T_i}{\partial q_i} I_i \frac{\partial T_i^T}{\partial q_k} \right) \dot{q}_j \dot{q}_k + \frac{1}{2} \sum_{i=1}^6 I_{ai} \dot{q}_i^2 \end{aligned} \quad (5.10)$$

► 势能的计算

一个在高度 h 处质量 m 为的物体，其势能为：

$$P = m \cdot g \cdot h$$

连杆 i 上位置 $^i r$ 处的质点 dm ，其势能为：

$$dP_i = -dm \cdot \mathbf{g}^T \cdot {}^0 r = -\mathbf{g}^T \cdot T_i^i r \cdot dm$$

式中， $\mathbf{g}^T = [g_x, g_y, g_z, 1]$

$$P_i = \int_{\text{连杆}i} dP_i = - \int_{\text{连杆}i} \mathbf{g}^T T_i^i r dm = -\mathbf{g}^T T_i \int_{\text{连杆}i}^i r dm$$

$$= -\mathbf{g}^T T_i m_i {}^i r_i = -m_i \mathbf{g}^T T_i^i r_i$$

${}^i r_i$ 为连杆 i 相对于前端关节坐标系的重心位置。

➤ 由于传动装置的重力作用 P_{ai} 是很小的，所以机械手系统的总势能为：

$$P = \sum_{i=1}^n (P_i - P_{ai}) \approx \sum_{i=1}^n P_i \quad (5.11)$$

$$= - \sum_{i=1}^n m_i \mathbf{g}^T T_i^i r_i$$

5. 机械手动力学方程的推导

➤ 据式(5.1) 求拉格朗日函数

$$L = K_t - P$$

$$= \frac{1}{2} \sum_{i=1}^n \sum_{j=1}^i \sum_{k=1}^i \text{Trace} \left(\frac{\partial T_i}{\partial q_i} I_i \frac{\partial T_i^T}{\partial q_k} \right) \dot{q}_j \dot{q}_k + \frac{1}{2} \sum_{i=1}^n I_{ai} \dot{q}_i^2 + \sum_{i=1}^n m_i \mathbf{g}^T T_i^i r_i, \quad n = 1, 2, \dots$$

(5.12)

➤ 再据式(5.2)求动力学方程，先求导数

$$\frac{\partial L}{\partial \dot{q}_p} = \frac{1}{2} \sum_{i=1}^n \sum_{k=1}^i \text{Trace} \left(\frac{\partial T_i}{\partial q_p} I_i \frac{\partial T_i^T}{\partial q_k} \right) \dot{q}_k$$

$$+ \frac{1}{2} \sum_{i=1}^n \sum_{j=1}^i \text{Trace} \left(\frac{\partial T_i}{\partial q_i} I_i \frac{\partial T_i^T}{\partial q_p} \right) \dot{q}_j + I_{ap} \dot{q}_p \quad p = 1, 2, \dots, n$$

因为 I_i 为对称矩阵, 即 $I_i^T = I_i$, 所以下式成立:

$$\text{Trace} \left(\frac{\partial T_i}{\partial q_j} I_i \frac{\partial T_i^T}{\partial q_k} \right) = \text{Trace} \left(\frac{\partial T_i}{\partial q_k} I_i^T \frac{\partial T_i^T}{\partial q_j} \right) = \text{Trace} \left(\frac{\partial T_i}{\partial q_k} I_i \frac{\partial T_i^T}{\partial q_j} \right)$$

$$\frac{\partial L}{\partial \dot{q}_p} = \sum_{i=1}^n \sum_{k=1}^i \text{Trace} \left(\frac{\partial T_i}{\partial q_k} I_i \frac{\partial T_i^T}{\partial q_p} \right) \dot{q}_k + I_{ap} \dot{q}_p$$

$$\begin{aligned} \frac{d}{dt} \frac{\partial L}{\partial \dot{q}_p} &= \sum_{i=p}^n \sum_{k=1}^i \text{Trace} \left(\frac{\partial T_i}{\partial q_k} I_i \frac{\partial T_i^T}{\partial q_p} \right) \ddot{q}_k + I_{ap} \ddot{q}_p + \sum_{i=p}^n \sum_{j=1}^i \sum_{k=1}^i \text{Trace} \left(\frac{\partial^2 T_i}{\partial q_j \partial q_k} I_i \frac{\partial T_i^T}{\partial q_i} \right) \dot{q}_j \dot{q}_k \\ &\quad + \sum_{i=p}^n \sum_{j=1}^i \sum_{k=1}^i \text{Trace} \left(\frac{\partial^2 T_i}{\partial q_p \partial q_k} I_i \frac{\partial T_i^T}{\partial q_i} \right) \dot{q}_j \dot{q}_k \\ &= \sum_{i=p}^n \sum_{k=1}^i \text{Trace} \left(\frac{\partial T_i}{\partial q_k} I_i \frac{\partial T_i^T}{\partial q_p} \right) \ddot{q}_k + I_{ap} \ddot{q}_p + 2 \sum_{i=p}^n \sum_{j=1}^i \sum_{k=1}^i \text{Trace} \left(\frac{\partial^2 T_i}{\partial q_j \partial q_k} I_i \frac{\partial T_i^T}{\partial q_k} \right) \dot{q}_j \dot{q}_k \end{aligned}$$

$$\begin{aligned}
\frac{\partial L}{\partial q_p} &= \frac{1}{2} \sum_{i=p}^n \sum_{j=1}^i \sum_{k=1}^i \text{Trace} \left(\frac{\partial^2 T_i}{\partial q_j \partial q_k} I_i \frac{\partial T_i^T}{\partial q_k} \right) \dot{q}_j \dot{q}_k \\
&\quad + \frac{1}{2} \sum_{i=p}^n \sum_{i=1}^i \sum_{k=1}^i \text{Trace} \left(\frac{\partial^2 T_i}{\partial q_k \partial q_p} I_i \frac{\partial T_i^T}{\partial q_j} \right) \dot{q}_j \dot{q}_k + \sum_{i=p}^n m_i \mathbf{g}^T \frac{\partial T_i}{\partial q_p} r_i \\
&= \sum_{i=p}^n \sum_{j=1}^i \sum_{k=1}^i \text{Trace} \left(\frac{\partial^2 T_i}{\partial q_p \partial q_j} I_i \frac{\partial T_i^T}{\partial q_k} \right) \dot{q}_j \dot{q}_k + \sum_{i=p}^n m_i \mathbf{g}^T \frac{\partial T_i}{\partial q_p} r_i
\end{aligned}$$

具有 n 个连杆的机械手系统动力学方程如下：

$$\begin{aligned}
T_i &= \sum_{j=i}^n \sum_{k=1}^j \text{Trace} \left(\frac{\partial T_j}{\partial q_k} I_j \frac{\partial T_j^T}{\partial q_i} \right) \ddot{q}_k + I_{ai} \ddot{q}_i \\
&\quad + \sum_{j=1}^n \sum_{k=1}^j \sum_{m=1}^j \text{Trace} \left(\frac{\partial^2 T_i}{\partial q_k \partial q_m} I_j \frac{\partial T_j^T}{\partial q_i} \right) \dot{q}_k \dot{q}_m - \sum_{j=1}^n m_j \mathbf{g}^T \frac{\partial T_i}{\partial q_i} r_i \quad (5.13)
\end{aligned}$$

上述方程式与求和顺序无关，可写成

$$T_i = \sum_{j=1}^n D_{ij} \ddot{q}_j + I_{ai} \ddot{q}_i + \sum_{j=1}^n \sum_{k=1}^n D_{ijk} \dot{q}_j \dot{q}_k + D_i \quad (5.14)$$

$$D_{ij} = \sum_{p=\max i, j}^n \text{Trace} \left(\frac{\partial T_p}{\partial q_j} I_p \frac{\partial T_p^T}{\partial q_i} \right)$$

$$D_{ijk} = \sum_{p=\max i, j, k}^n \text{Trace} \left(\frac{\partial^2 T_p}{\partial q_j \partial q_k} I_p \frac{\partial T_p^T}{\partial q_i} \right)$$

$$D_i = \sum_{p=i}^n -m_p \frac{\partial T_p}{\partial q_i} r_p$$

对于一个6轴转动机器人，上式展开为

$$\begin{aligned} T_i = & D_{i1} \ddot{\theta}_1 + D_{i2} \ddot{\theta}_2 + D_{i3} \ddot{\theta}_3 + D_{i4} \ddot{\theta}_4 + D_{i5} \ddot{\theta}_5 + D_{i6} \ddot{\theta}_6 + I_{ai} \ddot{\theta}_i + \\ & D_{i11} \dot{\theta}_1^2 + D_{i22} \dot{\theta}_2^2 + D_{i33} \dot{\theta}_3^2 + D_{i44} \dot{\theta}_4^2 + D_{i55} \dot{\theta}_5^2 + D_{i66} \dot{\theta}_6^2 + \\ & D_{i12} \dot{\theta}_1 \dot{\theta}_2 + D_{i13} \dot{\theta}_1 \dot{\theta}_3 + D_{i14} \dot{\theta}_1 \dot{\theta}_4 + D_{i15} \dot{\theta}_1 \dot{\theta}_5 + D_{i16} \dot{\theta}_1 \dot{\theta}_6 + \\ & D_{i21} \dot{\theta}_2 \dot{\theta}_1 + D_{i23} \dot{\theta}_2 \dot{\theta}_3 + D_{i24} \dot{\theta}_2 \dot{\theta}_4 + D_{i25} \dot{\theta}_2 \dot{\theta}_5 + D_{i26} \dot{\theta}_2 \dot{\theta}_6 + \\ & D_{i31} \dot{\theta}_3 \dot{\theta}_1 + D_{i32} \dot{\theta}_3 \dot{\theta}_2 + D_{i34} \dot{\theta}_3 \dot{\theta}_4 + D_{i35} \dot{\theta}_3 \dot{\theta}_5 + D_{i36} \dot{\theta}_3 \dot{\theta}_6 + \\ & D_{i41} \dot{\theta}_4 \dot{\theta}_1 + D_{i42} \dot{\theta}_4 \dot{\theta}_2 + D_{i43} \dot{\theta}_4 \dot{\theta}_3 + D_{i45} \dot{\theta}_4 \dot{\theta}_5 + D_{i46} \dot{\theta}_4 \dot{\theta}_6 + \\ & D_{i51} \dot{\theta}_5 \dot{\theta}_1 + D_{i52} \dot{\theta}_5 \dot{\theta}_2 + D_{i53} \dot{\theta}_5 \dot{\theta}_3 + D_{i54} \dot{\theta}_5 \dot{\theta}_4 + D_{i56} \dot{\theta}_5 \dot{\theta}_6 + \\ & D_{i61} \dot{\theta}_6 \dot{\theta}_1 + D_{i62} \dot{\theta}_6 \dot{\theta}_2 + D_{i63} \dot{\theta}_6 \dot{\theta}_3 + D_{i64} \dot{\theta}_6 \dot{\theta}_4 + D_{i65} \dot{\theta}_6 \dot{\theta}_5 + D_i \end{aligned}$$

6. 二连杆机械手动力学方程实例

规定机械手的坐标系

连杆参数

图5 二连杆机械手的坐标系

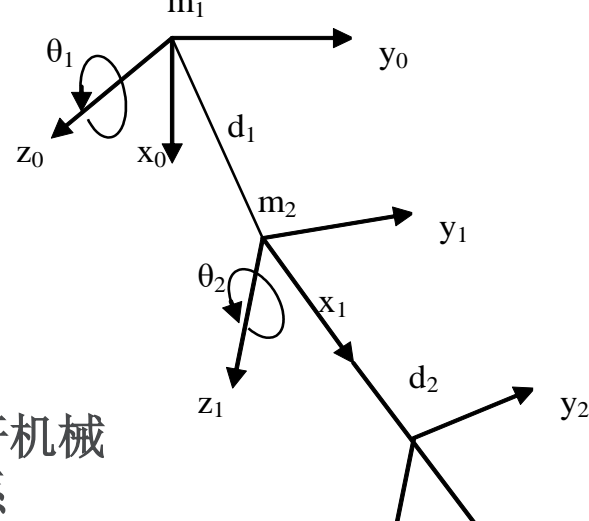


表 4.2 二连杆机械手连杆参数

连 杆	变 量	α	a	d	$\cos \alpha$	$\sin \alpha$
1	θ_1	0°	d_1	0	1	0
2	θ_2	0°	d_2	0	1	0

➤ 计算A矩阵和T矩阵

$$A_1 = {}^0T_1 = \begin{bmatrix} c_1 & -s_1 & 0 & d_1 c_1 \\ s_1 & c_1 & 0 & d_1 s_1 \\ 0 & 0 & 1 & 0 \\ 0 & 0 & 0 & 1 \end{bmatrix}$$

$$A_2 = {}^1T_2 = \begin{bmatrix} c_2 & -s_2 & 0 & d_2 c_2 \\ s_2 & c_2 & 0 & d_2 s_2 \\ 0 & 0 & 1 & 0 \\ 0 & 0 & 0 & 1 \end{bmatrix}$$

$${}^0T_2 = \begin{bmatrix} c_{12} & -s_{12} & 0 & d_1c_1 + d_2c_{12} \\ s_{12} & c_{12} & 0 & d_1s_1 + d_2s_{12} \\ 0 & 0 & 1 & 0 \\ 0 & 0 & 0 & 1 \end{bmatrix}$$

可求出动力学方程:

$$T_1 = D_{11}\ddot{\theta}_1 + D_{12}\ddot{\theta}_2 + D_{111}\dot{\theta}_1^2 + D_{122}\dot{\theta}_2^2 + 2D_{112}\dot{\theta}_1\dot{\theta}_2 + D_1 + I_{a1}\ddot{\theta}_1$$

$$T_2 = D_{21}\ddot{\theta}_1 + D_{22}\ddot{\theta}_2 + D_{211}\dot{\theta}_1^2 + D_{222}\dot{\theta}_2^2 + 2D_{212}\dot{\theta}_1\dot{\theta}_2 + D_2 + I_{a2}\ddot{\theta}_2$$

$$\begin{bmatrix} T_1 \\ T_2 \end{bmatrix} = \begin{bmatrix} \frac{1}{3}m_1l^2 + \frac{4}{3}m_2l^2 + m_2l^2\cos\theta_2 & \frac{1}{3}m_2l^2 + \frac{1}{2}m_2l^2\cos\theta_2 \\ \frac{1}{3}m_2l^2 + \frac{1}{2}m_2l^2\cos\theta_2 & \frac{1}{3}m_2l^2 \end{bmatrix} \begin{bmatrix} \ddot{\theta}_1 \\ \ddot{\theta}_2 \end{bmatrix} +$$

$$\begin{bmatrix} 0 & -\frac{1}{2}m_2l^2\sin\theta_2 \\ \frac{1}{2}m_2l^2\sin\theta_2 & 0 \end{bmatrix} \begin{bmatrix} \dot{\theta}_1^2 \\ \dot{\theta}_2^2 \end{bmatrix} + \begin{bmatrix} -\frac{1}{2}m_2l^2\sin\theta_2 & -\frac{1}{2}m_2l^2\sin\theta_2 \\ 0 & 0 \end{bmatrix} \begin{bmatrix} \dot{\theta}_1\dot{\theta}_2 \\ \dot{\theta}_2\dot{\theta}_1 \end{bmatrix} +$$

$$\begin{bmatrix} \frac{1}{2}m_1gl\cos\theta_1 + \frac{1}{2}m_2gl\cos(\theta_1 + \theta_2) + m_2gl\cos\theta_1 \\ \frac{1}{2}m_2gl\cos(\theta_1 + \theta_2) \end{bmatrix} + \begin{bmatrix} I_{a1} & 0 \\ 0 & I_{a2} \end{bmatrix} \begin{bmatrix} \ddot{\theta}_1 \\ \ddot{\theta}_2 \end{bmatrix}$$

5.3 牛顿-欧拉方程

上面利用拉格朗日方程推导了机器人动力学模型，也可以利用牛顿方程及欧拉方程推导出动力学模型。

牛顿方程：

图 6 作用在图刚体上的力 $F = m\dot{v}_C$

欧拉方程：

图7所示为一个旋转刚体，其角速度和角加速度分别为 ω 、 $\dot{\omega}$ ，此时由欧拉方程可得到作用在刚体上的力矩 N 引起刚体的转动。

m ---刚体质量 F_c ----作用于质心的作用力

v_c ----线性速度 I -----惯性张量

N ----作用在刚体的力矩 w ---角速度

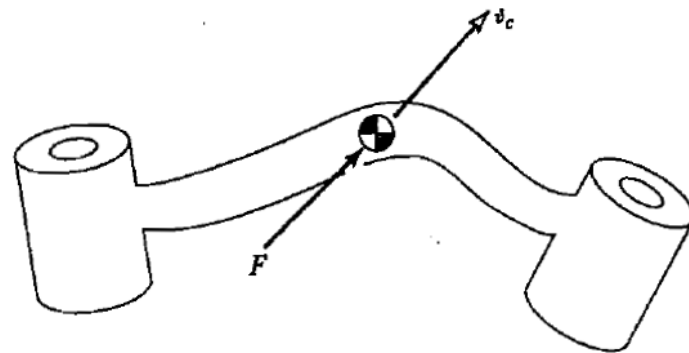


图6 作用于刚体质心的力 F 引起刚体加速度

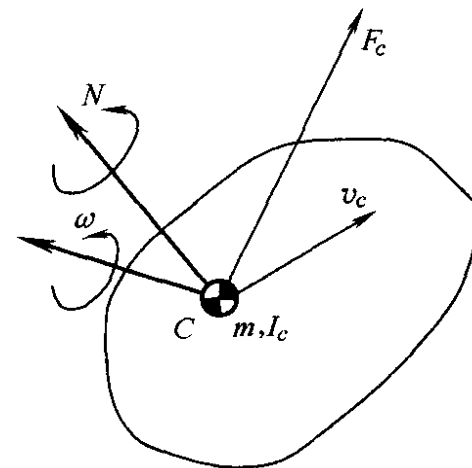


图7

在刚体上的力矩 \mathbf{N} 引起刚体的转动为

$$\mathbf{N} = {}^C \mathbf{I} \dot{\boldsymbol{\omega}} + \boldsymbol{\omega} \times {}^C \mathbf{I} \boldsymbol{\omega},$$

式中 ${}^C \mathbf{I}$ 是刚体在坐标系 $\{C\}$ 中的惯性张量, 而刚体的质心在坐标系 $\{C\}$ 的原点上。

在此基础上, 可得到牛顿-欧拉方程一般形式为:

$$\frac{\partial \mathbf{W}}{\partial \mathbf{q}_i} = \frac{d}{dt} \frac{\partial \mathbf{K}}{\partial \dot{\mathbf{q}}_i} - \frac{\partial \mathbf{K}}{\partial \mathbf{q}_i} + \frac{\partial \mathbf{D}}{\partial \dot{\mathbf{q}}_i} + \frac{\partial \mathbf{P}}{\partial \mathbf{q}_i}, i = 1, 2, \dots, n$$

式中 \mathbf{K} 为动能, \mathbf{P} 为势能, \mathbf{D} 为消耗能量, \mathbf{W} 为外力作用的功, \mathbf{q}_i 为广义坐标。

具体算法:

第一部分: 对每个连杆, 从连杆1到连杆 n 计算连杆的速度和加速度, 并计算出动能、势能、消耗能量和外力作用的功;

第二部分: 应用牛顿欧拉方程, 计算连杆间的相互作用力和力矩以及关节力矩。

质量 m_1 和 m_2 的位置矢量 \mathbf{r}_1 和 \mathbf{r}_2 (见图8) 为:

$$\mathbf{r}_1 = \mathbf{r}_0 + (d_1 \cos \theta_1) \mathbf{i} + (d_1 \sin \theta_1) \mathbf{j}$$

$$= (d_1 \cos \theta_1) \mathbf{i} + (d_1 \sin \theta_1) \mathbf{j}$$

$$\mathbf{r}_2 = \mathbf{r}_1 + [d_2 \cos(\theta_1 + \theta_2)] \mathbf{i} + [d_2 \sin(\theta_1 + \theta_2)] \mathbf{j}$$

$$= [d_1 \cos \theta_1 + d_2 \cos(\theta_1 + \theta_2)] \mathbf{i} + [d_1 \sin \theta_1 + d_2 \sin(\theta_1 + \theta_2)] \mathbf{j}$$

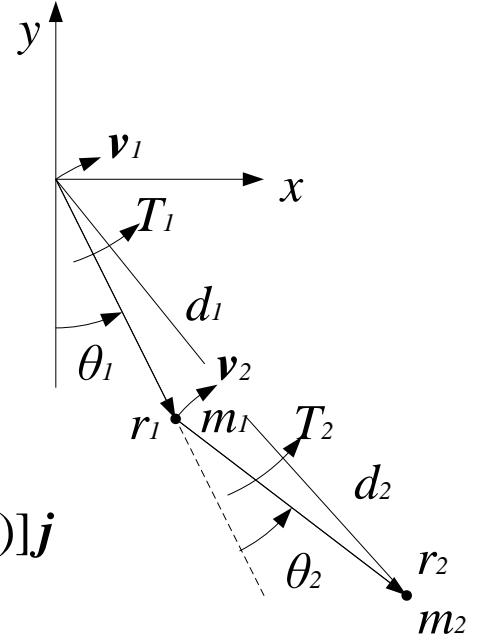


图8 二连杆机械手

可得:

$$\begin{aligned} T_1 = & [(m_1 + m_2)d_1^2 + m_2d_2^2 + 2m_2d_1d_2 \cos \theta_2] \ddot{\theta}_1 \\ & + [m_2d_2^2 + m_2d_1d_2 \cos \theta_2] \ddot{\theta}_2 + c_1\dot{\theta}_1 - (2m_2d_1d_2 \sin \theta_2) \dot{\theta}_1 \dot{\theta}_2 \\ & - (m_2d_1d_2 \sin \theta_2) \dot{\theta}_2^2 + [(m_1 + m_2)gd_1 \sin \theta_1 + m_2d_2g \sin(\theta_1 + \theta_2)] \end{aligned} \quad (5.16)$$

$$\begin{aligned} T_2 = & (m_2d_2^2 + m_2d_1d_2 \cos \theta_2) \ddot{\theta}_1 + m_2d_2^2 \ddot{\theta}_2 + m_2d_1d_2 \sin \theta_2 \dot{\theta}_1^2 \\ & + c_2\dot{\theta}_2 + m_2gd_2 \sin(\theta_1 + \theta_2) \end{aligned} \quad (5.17)$$

5.4 机器人的动静特性

包括：动态响应特性

稳定性

静态特性：工作精度，重复能力，稳定度，空间分辨度。

(1) 动态动态响应特性

机器人能够移动得多快，能以怎样的准确性快速地停在给定点，以及它对停止位置超调了多少距离等等。

(2) 稳定性

稳定性是指机器人运动过程中是否能到达平衡点，及有无振荡问题。

➤ 两种不同类型的振荡：

衰减振荡

非衰减振荡

➤ 维持振荡是一种临界情况。

(3) 空间分辨率

空间分辨率 (spatial resolution) 是描述机器人工具末端运动的一个重要因素。分辨率 指明系统能够区别工作空间所需要的最小运动增量。

分辨率可以是控制系统能够控制的最小位置增量的函数，或者是控制测量系统能够辨别的最小位置增量。

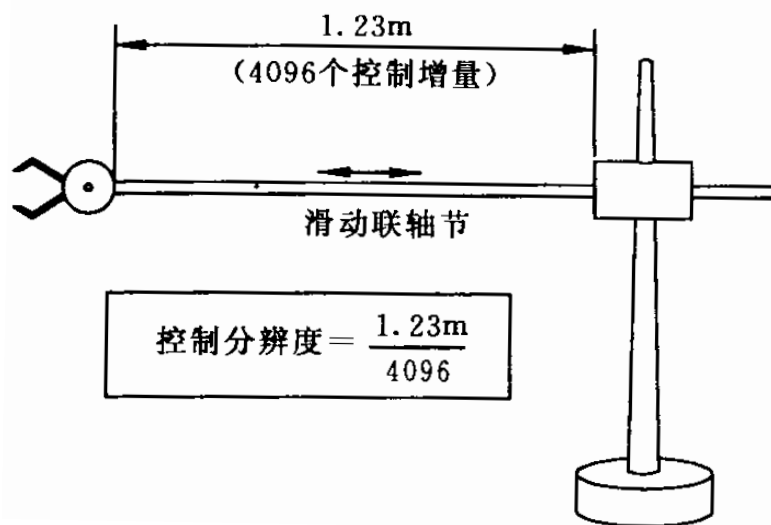


图9 控制对分辨率的影响

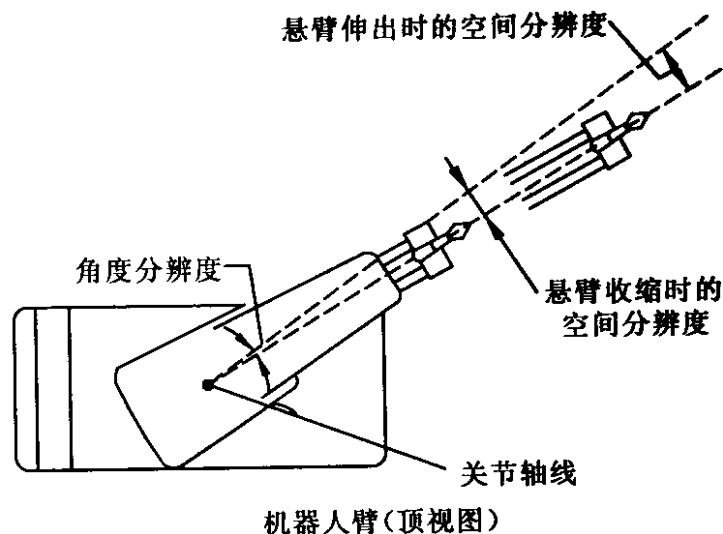


图10 悬臂伸缩对空间分辨率的影响

(4) 精度

- 精度这一术语常常与分辨度及重复性能相混淆。
- 三个因素：
 - 各控制部件的分辨度；
 - 各机械部件的偏差；
 - 传感器精度。

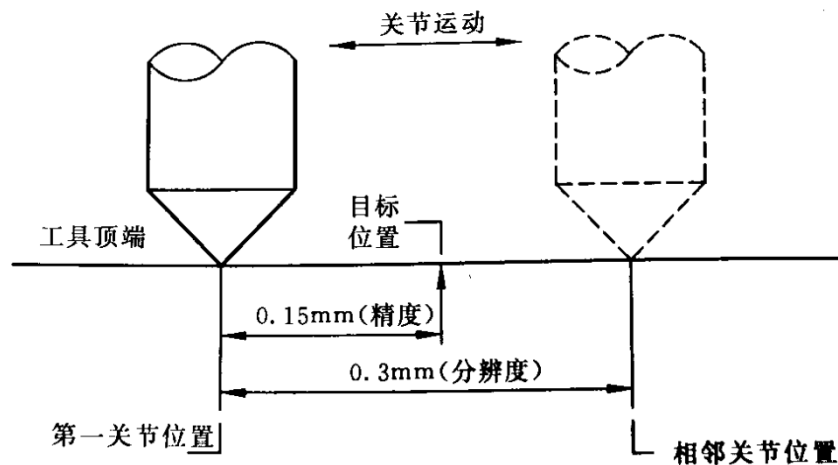


图11 考虑机械偏差时精度与空间分辨度的关系

(6) 重复性

➤ 重复性

称重复定位精度，指的是机器人自身重复到达原先被命令或训练位置的能力。

➤ 涉及因素：

分辨率

部件偏差

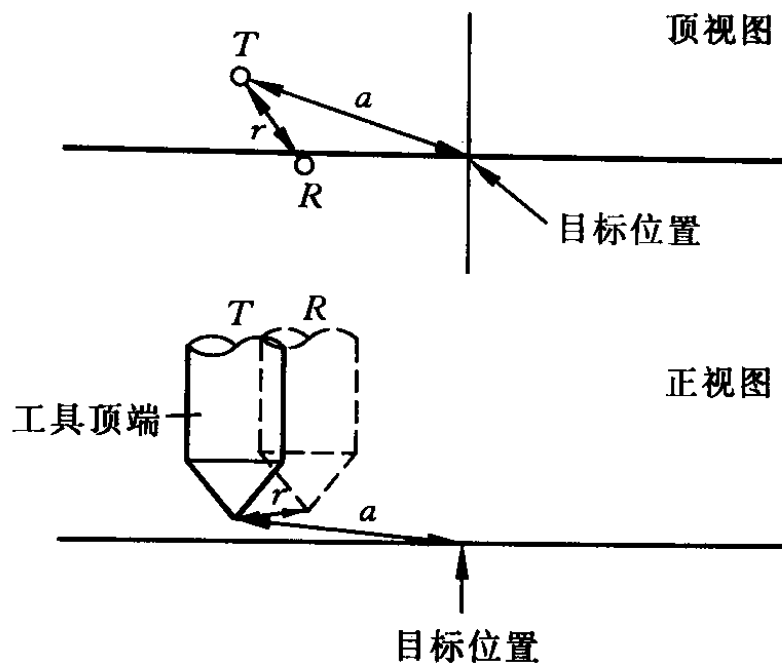


图12 精度与重复性关系

5.5 机器人动力学matlab仿真

在MATLAB中，机器人正向动力学函数为

$[T, q, qd] = R.fdyn(T, \text{torqfun}, q0, qd0)$

$qdd = R.accel(q, qd, \text{torqfun});$

其中，输入参数 $q0$ 和 $qd0$ 分别是初始的关节角度和角速度， torqfun 为给定的力矩函数， T 表示整个时间间隔（采样时间）；

函数输出 q 、 qd 和 qdd 分别是给定机器人关节角度、角速度和角加速度。

逆向动力学函数为

$\text{tau} = R.rne(q, qd, qdd, \text{option})$

其中输入参数 q 、 qd 和 qdd 分别是机器人R到达指定关节位置的关节角度、角速度和角加速度；函数输出 tau 为驱动的关节力矩。

实验1 针对六轴机械臂PUMA560，在忽略重力的情况下，即假定重力的作用方向与运动平面垂直。求解正向动力学问题，其中关节扭矩、关节角度和关节角速度如下： $T=[1 \ 1 \ 1 \ 1 \ 1 \ 1]^T$ (Nm, 常量)， $\Theta_0=[-60^\circ \ 90^\circ \ 30^\circ \ 0 \ 0 \ 0]^T$ ， $\dot{\Theta}_0=[0 \ 0 \ 0 \ 0 \ 0 \ 0]^T$ (rad/s)

实验结果：

>>

```
three_dof1_forward_dynamics
qdd =
    0.6697
    2.1099  8.8318
    5.1985
    5.8652
    5.1509
```

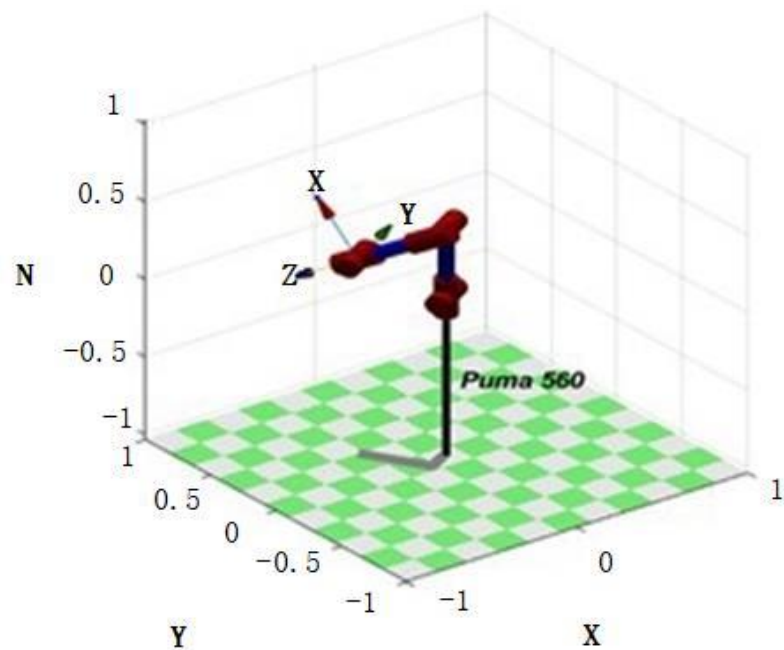


图12 正向动力学机械臂运动图

实验4.2 对于3自由度3R机器人，已知长度参数 $L_1=4$, $L_2=3$, $L_3=2(\text{m})$, 质量和惯性矩 $m_1=20$, $m_2=15$, $m_3=10(\text{kg})$, ${}^C I_{zz_1}=0.5$, ${}^C I_{zz_2}=0.2$, ${}^C I_{zz_3}=0.1(\text{kgm}^2)$ 。假定每个连杆的重心在其几何中心处，并且假定重力作用在运动平面的-Y方向上。

1) 编写逆动力学程序，计算所需的关节驱动力矩。利用给定的运动指令为： $\Theta=[10^\circ \ 20^\circ \ 30^\circ]^T$, $\dot{\Theta}=[1 \ 2 \ 3]^T$ (rad/s) , $\ddot{\Theta}=[0.5 \ 1 \ 1.5]^T$ (rad/s²) ;

2) 用函数rne()和gravload()对结果进行验证。

D-H表:

j	theta	d	a	alph a	offset
1	q_1	0	0	0	0
2	q_2	0	4	0	0
3	q_3	0	3	0	0

实验结果:

1)

```
>> tau = three_dof_reverse_dynamics([10;20;30],[1;2;3],[0.5;1;1.5]);  
tau = 851.7198 636.6980 296.7687
```

2)

```
robot =Plan3R: 3 axis, RRR, modDH, slowRNE
```

末端位姿 t0 =

0.5000	-0.8660	0	6.537
0.8660	0.5000	0	2.195
0	0	1	0
0	0	0	1

力矩 tau = 851.7198 636.6980 296.7687

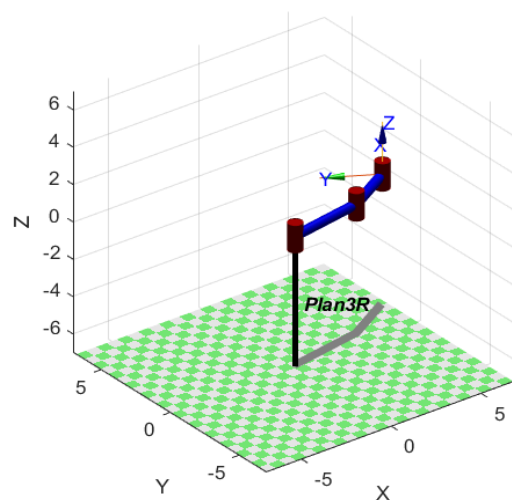


图4.13 逆向动力学机械臂运动

本章总结：

- 研究刚体动力学问题，着重分析了机器人机械手动力学方程的两种求法：

拉格朗日平衡法

牛顿—欧拉动态平衡法

$$\tau = \mathbf{M}(q)\ddot{\mathbf{q}} + \mathbf{V}(q, \dot{\mathbf{q}}) + \mathbf{G}(q)$$

- 在分析二连杆机械手的基础上，总结出建立拉格朗日方程的步骤，并据之计算出机械手连杆上一点的速度、动能和位能，进而推导出机械手的动力学方程。
- 机械手的动静态特性